

УДК 539.3

## ВЫНУЖДЕННЫЕ КОЛЕБАНИЯ ПЛАСТИНКИ КОНЕЧНОЙ ПРОВОДИМОСТИ В ПРОДОЛЬНОМ МАГНИТНОМ ПОЛЕ

АКОПЯН П. З., БАГДАСАРЯН Г. Е.

Задача вынужденных колебаний тонкой идеально проводящей пластинки в продольном магнитном поле рассмотрена в работе [1], в которой показано существенное влияние напряженности магнитного поля на амплитуду резонансных колебаний.

В настоящей работе, исходя из линейных уравнений магнитоупругости тонких пластин [2], рассматриваются вынужденные колебания тонкой пластинки-полосы конечной электропроводности в продольном магнитном поле. Исследовано и показано существенное влияние напряженности магнитного поля, проводимости материала пластинки, частоты внешней силы и толщины пластинки на характеристики вынужденных колебаний.

1. Рассмотрим тонкую изотропную упругую пластинку постоянной толщины  $2h$ , отнесенную к декартовым координатам  $x, y, z$  так, что срединная плоскость недеформированной пластинки совпадает с координатной плоскостью  $xu$ . Пусть пластинка, изготовленная из материала с конечной постоянной электропроводностью  $\sigma$  находится в вакууме и под действием поперечной нагрузки  $P(x, t)$  колеблется во внешнем постоянном магнитном поле с вектором напряженности  $\vec{H}(H, 0, 0)$ , направленном по оси  $ox$ . Граничные условия, нагрузка и геометрия пластинки таковы, что формой колебаний является цилиндрическая поверхность с образующими, параллельными координатной линии  $oy$ .

Задача решается на основе следующих предположений: а) справедлива гипотеза магнитоупругости тонких тел [2] в виде, предложенном в работе [3]; б) магнитные и диэлектрические проницаемости материала пластинки и окружающей среды равны единице; в) влияние токов смещения пренебрежимо мало.

На основе принятых предположений в работе [3] получена следующая система интегро-дифференциальных уравнений:

$$\begin{aligned} \frac{\partial \psi}{\partial x} + \frac{1}{c} \frac{\partial f}{\partial t} &= 0 \\ \frac{\partial f}{\partial x} + \frac{4\pi\sigma\delta}{c} \left( \psi + \frac{H}{c} \frac{\partial w}{\partial t} \right) + \frac{1}{\pi h} \int_{-\infty}^{\infty} \frac{f(\xi, t)}{\xi - x} d\xi &= 0 \\ D \frac{\partial^4 w}{\partial x^4} + 2\rho h \frac{\partial^2 w}{\partial t^2} + 2\rho h \varepsilon \frac{\partial w}{\partial t} + \frac{2\sigma h}{c} H \left( \psi + \frac{H}{c} \frac{\partial w}{\partial t} \right) - P(x, t) &= 0 \end{aligned} \quad (1.1)$$

описывающая вынужденные колебания пластинки-полосы конечной проводимости в продольном магнитном поле.

В уравнениях (1.1)  $w$  — прогиб пластинки,  $\psi$  — тангенциальная компонента индуцированного в слое  $|z| < h$  электрического поля,  $f$  — нормальная компонента индуцированного в слое  $|z| < h$  магнитного поля,  $D = 2Eh^3/3(1-\nu^2)$  — цилиндрическая жесткость,  $E$  — модуль упругости,  $\nu$  — коэффициент Пуассона,  $\varepsilon$  — коэффициент затухания при отсутствии магнитного поля,  $\rho$  — плотность материала пластинки,  $c$  — электродинамическая постоянная,

$$\delta = \begin{cases} 1 & \text{при } x \in [0, a] \\ 0 & \text{при } x \notin [0, a] \end{cases}$$

$a$  — ширина пластинки-полосы. В первых двух уравнениях  $-\infty < x < \infty$ , а в последнем —  $x \in [0, a]$ .

К системе уравнений (1.1) в каждой конкретной задаче необходимо присоединить обычные условия закрепления краев пластинки, начальные условия и условия на бесконечности ( $f$  и  $\psi$  стремятся к нулю при  $|x| \rightarrow \infty$ ).

Как показывает точное решение системы (1.1) в случае бесконечной пластинки, член  $\partial f / \partial x$  во втором уравнении имеет порядок  $h/a$  по сравнению с последним членом этого уравнения [4]. Поэтому, оставаясь в пределах точности теории тонких пластинок, в дальнейшем им будем пренебрегать. Тогда из первых двух уравнений системы (1.1) путем применения обратного преобразования Гильберта и с учетом третьего уравнения определяем  $f$  и  $\psi$ . Подставляя найденное значение  $\psi$  в третье уравнение системы (1.1), задачу вынужденных колебаний пластинки в продольном магнитном поле приводим к решению сингулярного интегро-дифференциального уравнения

$$\frac{\partial F}{\partial x} + \frac{4\gamma h}{c^2} \int_0^a \frac{\partial F}{\partial t} \frac{d\xi}{\xi - x} + \frac{2\gamma h H^2}{c^2} \frac{\partial^2 w}{\partial x \partial t} = 0$$

где

$$F = D \frac{\partial^4 w}{\partial x^4} + 2\gamma h \frac{\partial^2 w}{\partial t^2} + 2\gamma h \varepsilon \frac{\partial w}{\partial t} - P(x, t) \quad (1.2)$$

с обычными краевыми условиями для  $w$  на длинных сторонах  $x=0$  и  $x=a$  пластинки.

2. На основе (1.2) рассмотрим задачу вынужденных колебаний шарнирно опертой по краям  $x=0$ ,  $x=a$  пластинки-полосы шириною  $a$  под действием нормально приложенной нагрузки  $P(x, t) = P_1(x) \sin \omega t$ .

Решение исходного уравнения (1.2), удовлетворяющего известным условиям шарнирного опирания, представим в виде

$$w = \sum_{n=1}^{\infty} w_n(t) \sin \lambda_n x, \quad \lambda_n = \frac{n\pi}{a} \quad (2.1)$$

Подставляя (2.1) в (1.2) и используя обычный процесс ортогона-

лизации, после некоторых преобразований приходим к следующей бесконечной системе обыкновенных дифференциальных уравнений относительно неизвестных функций  $w_n(t)$

$$L_m(w_m) + 4\pi\sigma \sum_{n=1}^{\infty} a_{mn} \frac{dL_n(w_n)}{dt} + \frac{\varepsilon H^2}{\rho c^2} \frac{dw_m}{dt} = \\ = A_m \sin \omega t + 4\pi\sigma B_m \cos \omega t \quad (m=1, 2, \dots) \quad (2.2)$$

где

$$L_k = \Omega_{0k}^2 + \frac{d^2}{dt^2} + \varepsilon \frac{d}{dt}, \quad \Omega_{0k}^2 = \frac{D \nu_k}{2\rho h} \\ a_{mn} = \frac{2h}{\pi a \nu_m c^2} \int_0^a \int_0^a \frac{\cos \lambda_m x \sin \nu_n \xi}{\xi - x} d\xi dx \\ A_m = \frac{1}{a \nu_m c^2 h} \int_a^a \cos \lambda_m x dP_1 \\ B_m = \frac{1}{\pi a \nu_m c^2} \int_0^a \int_0^a \frac{P_1(\xi) \cos \lambda_m x}{\xi - x} d\xi dx \quad (2.3)$$

$\Omega_{0k}$  — частоты собственных колебаний пластинки при отсутствии магнитного поля.

Если возмущающая сила отсутствует ( $A_m = B_m = 0$ ), то уравнения (2.2) являются однородными и характеризуют собственные магнитоупругие колебания конечнопроводящей пластинки в продольном магнитном поле. Представляя решение указанной однородной системы в виде

$$w_n(t) = c_n \exp(i\omega_0 t) \quad (2.4)$$

где  $\omega_0$  — частота магнитоупругих колебаний, для определения неизвестных коэффициентов  $c_n$  получим следующую бесконечную систему алгебраических уравнений [5]:

$$[\gamma_m^2 + \Omega^2 + (\gamma + \sigma\sigma_0)\Omega]c_m + \sigma_0\Omega \sum_{n=1}^{\infty} b_{mn}(\gamma_n^2 + \Omega^2 + \gamma\Omega)c_n = 0$$

где

$$\gamma_k = \frac{\Omega_{0k}}{\Omega_{01}}, \quad \Omega = \frac{i\omega_0}{\Omega_{01}}, \quad \gamma = \frac{\varepsilon}{\Omega_{01}}, \quad \sigma = \frac{V_A^2}{c^2} \\ V_A^2 = \frac{H^2}{4\pi\rho}, \quad b_{mn} = a_{mn}\Omega_{01}^2, \quad \sigma_0 = \frac{4\pi\sigma}{\Omega_{01}} \quad (2.5)$$

Приравняв определитель однородной системы (2.5) нулю, приходим к следующему характеристическому уравнению относительно частоты  $\Omega$

$$|[\gamma_m^2 + \Omega^2 + (\gamma + \sigma\sigma_0)\Omega]\delta_{mn} + \sigma_0\Omega(\gamma_n^2 + \Omega^2 + \gamma\Omega)b_{mn}| = 0 \quad (2.6)$$

где  $\delta_{mn}$  — символ Кронекера.

Легко показать, что определитель (2.6) относится к классу сходящихся (нормальных) определителей.

Из (2.6) для определения первой частоты магнитоупругих колебаний получается уравнение

$$\sigma_0 \Omega^3 + (\beta + \sigma_0 \gamma) \Omega^2 + [\sigma_0 (1 + \alpha \beta) + \beta \gamma] \Omega + \beta = 0 \quad (2.7)$$

где

$$\beta = \frac{1}{a_{11} \Omega_{01}^2}$$

Уравнение типа (2.7) при  $\epsilon = 0$  получено и исследовано в работах многих авторов. Показано существенное влияние напряженности магнитного поля и проводимости материала пластинки как на частоту, так и на демпфирование колебаний.

Вернемся к основной задаче вышеуказанных колебаний пластинки, ограничиваясь первым приближением. Тогда из системы (2.2) в случае  $P_1(x) = P_0 \sin \lambda_1 x$  получим следующее неоднородное дифференциальное уравнение:

$$\left( \beta + \sigma_0 \frac{d}{d\tau} \right) \left( \frac{d^2 w_1}{d\tau^2} + \gamma \frac{dw_1}{d\tau} + w_1 + w_c \sin \theta \tau \right) + \sigma_0 \alpha \beta \frac{dw_1}{d\tau} = 0 \quad (2.8)$$

где

$$\tau = \Omega_{01} t, \quad \theta = \omega / \Omega_{01}, \quad w_c = P_0 / 2c h \Omega_{01}^2$$

$w_c$  — прогиб пластинки от статически действующей вертикальной силы  $P_0 \sin \lambda_1 x$ .

Частное решение уравнения (2.8), описывающее установившиеся вынужденные колебания, имеет вид

$$w_1 = w_c \sqrt{\beta^2 + \sigma_0^2 \theta^2} \{ (\beta^2 + \sigma_0^2 \theta^2) [(\gamma \theta)^2 + (1 - \theta^2)^2] + \sigma_0 \alpha \beta \theta^2 [2\beta \gamma + 2\sigma_0 (1 - \theta^2) + \sigma_0 \alpha \beta] \}^{-0.5} \sin(\theta \tau - \varphi) \quad (2.9)$$

где угол  $\varphi$ , представляющий сдвиг фаз между возмущающей силой и вынужденными колебаниями, определяется из соотношения [6]

$$\operatorname{tg} \varphi = \frac{(\beta^2 + \sigma_0^2 \theta^2) \gamma + \sigma_0 \alpha \beta \theta^2}{(\beta^2 + \sigma_0^2 \theta^2)(1 - \theta^2) + \sigma_0 \alpha \beta \theta^2} \theta \quad (2.10)$$

Как видно из (2.9), амплитуда вынужденных колебаний получается путем умножения статического прогиба  $w_c$  на абсолютное значение множителя

$$K = \left\{ (\gamma \theta)^2 + (1 - \theta^2)^2 + \frac{2\sigma_0 \alpha \beta \theta^2}{\beta^2 + \sigma_0^2 \theta^2} [\beta \gamma + \sigma_0 (1 - \theta^2) + 0.5 \sigma_0 \alpha \beta] \right\} \quad (2.11)$$

который называется динамическим коэффициентом [6]. При отсутствии магнитного поля ( $\alpha = 0$ ) из (2.11) для динамического коэффициента получим известное выражение

$$K_0 = [(\gamma \theta)^2 + (1 - \theta^2)^2]^{-0.5} \quad (2.12)$$

Для большей наглядности сначала рассмотрим случай идеально проводящего материала ( $\tau_0 \rightarrow \infty$ ). В этом случае из (2.11) легко получить следующее выражение для динамического коэффициента

$$K_1 = [(\gamma\beta)^2 + (1 - \beta^2)^2 + 2\alpha\beta(1 - \beta^2) + (\alpha\beta)^2]^{-0.5} \quad (2.13)$$

Сравнивая (2.13) с (2.12), можем записать

$$K_1 = K_0 \left[ 1 + \frac{2\alpha\beta(1 - \beta^2) + (\alpha\beta)^2}{(1 - \beta^2)^2 + (\gamma\beta)^2} \right]^{-0.5} \quad (2.14)$$

Рассматривая (2.13) или (2.14), легко заметить, что зависимость динамического коэффициента от параметра  $\alpha$ , характеризующего напряженность магнитного поля, является монотонно убывающей, если  $\beta \leq 1$ . Для этого случая ( $\beta \leq 1$ ) на основании формулы (2.14) проведены вычисления значения относительного динамического коэффициента в зависимости от напряженности магнитного поля при различных значениях  $s = 2h/a$ . Здесь и в дальнейшем при расчетах принято:  $E = 1,1 \cdot 10^{10}$  дин/см<sup>2</sup>,  $a = 10$  см,  $\rho = 8,93$  г/см<sup>3</sup>,  $\nu = 0,36$ ,  $\psi_0 = 0,03$ , где  $\psi_0 = 2\pi\tau/\Omega_{01}$  — относительное рассеяние энергии вследствие конструкционного демпфирования. Результаты подсчета значений  $K_1/K_0$  приведены в табл. 1 и на фиг. 1, причем пунктирные линии соответствуют случаю  $\beta^2 = 0,9$ , а сплошные линии — случаю  $\beta = 1$  (случай резонанса в отсутствие магнитного поля). Рассматривая таблицу и построенные кривые, замечаем, что при наличии магнитного поля амплитуда вынужденных колебаний существенно уменьшается и это влияние намного усиливается в случае резонансных колебаний.

Таблица 1  
Значения  $K_1/K_0$

$\frac{10^{-4} \cdot H}{10^2 \cdot s}$		Значения $K_1/K_0$					
		0	1	2	3	4	5
$\beta^2 = 0,9$	1	1	$3,1 \cdot 10^{-2}$	$8 \cdot 10^{-2}$	$3,5 \cdot 10^{-2}$	$2 \cdot 10^{-2}$	$1,3 \cdot 10^{-2}$
	5	1	0,802	0,502	0,309	0,201	0,139
	9	1	0,959	0,855	0,724	0,595	0,485
$\beta^2 = 1$	1	1	$1,5 \cdot 10^{-2}$	$3,8 \cdot 10^{-2}$	$1,7 \cdot 10^{-2}$	$9,6 \cdot 10^{-3}$	$6,1 \cdot 10^{-3}$
	5	1	0,189	$4,8 \cdot 10^{-2}$	$2,1 \cdot 10^{-2}$	$1,2 \cdot 10^{-2}$	$7,7 \cdot 10^{-3}$
	9	1	0,746	0,270	0,124	$7 \cdot 10^{-2}$	$4,5 \cdot 10^{-2}$

Если же частота вынуждающей силы велика по сравнению с собственной частотой ( $\beta > 1$ ), то нарушается монотонная зависимость динамического коэффициента от напряженности магнитного поля. В этом случае динамический коэффициент принимает максимальное значение при  $\alpha = (\beta^2 - 1)/\beta$  и равняется

$$\max_{(\alpha)} K_1 = (\gamma\beta)^{-1}, \quad (\beta > 1) \quad (2.15)$$

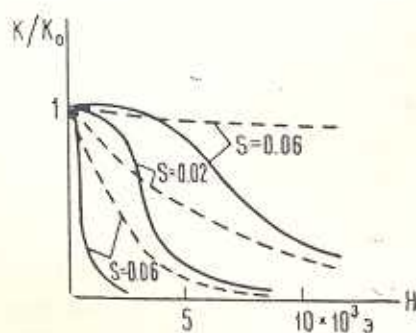
На фиг. 2 приведены графики зависимости  $K_1/K_0$  от напряженности магнитного поля при различных  $s$ , когда  $\beta^2 = 1,1$ , откуда видно, что в отличие от предыдущего случая ( $\beta \leq 1$ ) здесь наличие магнитного поля

может привести к существенному увеличению амплитуды вынужденных колебаний.

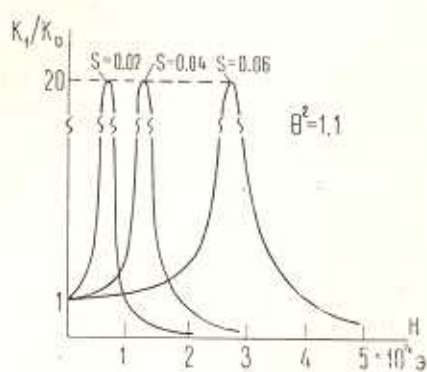
Перейдем к исследованию зависимости величины  $K_1$  от частоты вынуждающей силы при фиксированных значениях напряженности магнитного поля. Из (2.13) видно, что динамический коэффициент  $K_1$  как функция величины  $\theta$  имеет максимум при  $\theta^2 = 1 + \alpha\beta - 0,5 \gamma^2$ , который равен

$$\max_{(\theta)} K_1 = \frac{1}{\gamma \sqrt{1 + \alpha\beta}} \quad (2.16)$$

где учтено, что  $\gamma^2 \ll 1$ .



Фиг. 1



Фиг. 2

Из (2.16) видно, что величина  $\gamma^{-1}$  является максимальным значением динамического коэффициента по  $\theta$  при отсутствии магнитного поля ( $\alpha=0$ ), то есть

$$\max_{(\theta)} K_0 = \gamma^{-1}$$

В силу этого формулу (2.16) можно представить в виде

$$\frac{\max_{(\theta)} K_1}{\max_{(\theta)} K_0} = \gamma \max_{(\theta)} K_1 = \frac{1}{\sqrt{1 + \alpha\beta}} \quad (2.17)$$

Зависимость величины  $\gamma \max_{(\theta)} K_1$  от  $s$  и  $H$  приведена в табл. 2 и на фиг. 3.

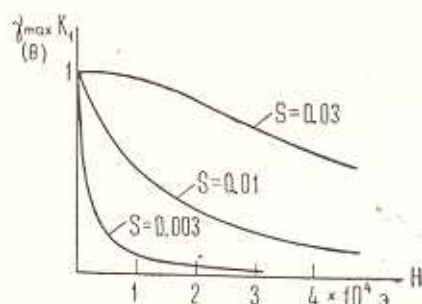
Рассматривая кривые, изображенные на фиг. 3, замечаем, что наложенном магнитном поле с напряженностью порядка  $10^3$  Э можно в несколько сотен раз уменьшить максимальную амплитуду вынужденных колебаний.

До сих пор рассматривали влияние магнитного поля на характеристики вынужденных колебаний, принимая модель идеального проводника. Рассмотрим теперь аналогичные вопросы в случае конечно-проводящего материала, опираясь на формулу (2.11). С этой целью на фиг. 4 представлен график зависимости относительного динамического коэффициента  $K/K_0$  от напряженности магнитного поля при различных

значениях относительной частоты:  $\theta^2=0,9$ ,  $\theta^2=1$ ,  $\theta^2=1,1$ . Представленные кривые построены по формулам (2.11) и (2.12) для медной пластинки ( $\sigma=5,3 \cdot 10^{17} \text{ с}^{-1}$ ) при  $s=0,02$ .

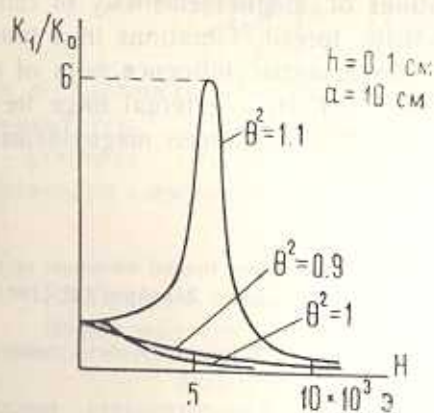
Таблица 2

		Значения $\gamma_{\max} K$ (s.H)					
		(*)					
$10^{-4} H$	$(\gamma)$	0	1	2	3	4	5
$10^2 s$							
0,3	1	0,093	0,047	0,032	0,023	0,019	
1	1	0,494	0,273	0,186	0,141	0,113	
3	1	0,947	0,828	0,701	0,594	0,508	
5	1	0,988	0,954	0,904	0,846	0,786	
7	1	0,995	0,982	0,962	0,935	0,903	
9	1	0,998	0,992	0,981	0,968	0,951	

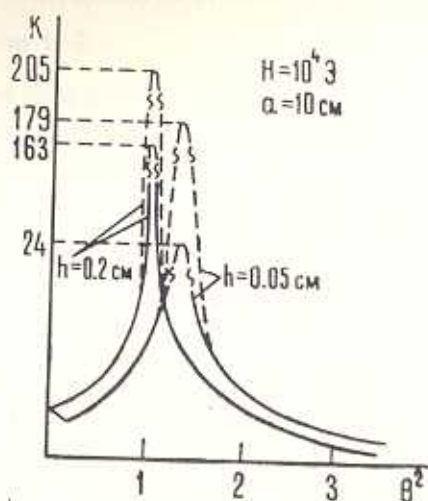


Фиг. 3

Сравнивая фиг. 1,2 с фиг. 4 замечаем: а) зависимость динамического коэффициента от напряженности магнитного поля для конечнопроводящего материала имеет качественно аналогичную картину, что и в случае идеального проводника; б) модель идеального проводника дает завышенное значение для максимума динамического коэффициента и увеличивает скорость убывания амплитуды вынужденных колебаний.



Фиг. 4



Фиг. 5

Зависимость динамического коэффициента от частоты вынуждающей силы при  $H=10^4 \text{ Э}$  показана на фиг. 5. Сплошные линии построены на основе формулы (2.11) и соответствуют конечному проводнику, а пунктирные линии—на основе формулы (2.13) и соответствуют идеальному проводнику.

Из фиг. 5 видно: а) в случае конечнопроводящего материала, в отличие от идеального проводника, при наложении магнитного поля и

дальнейшем увеличении его напряженности динамический коэффициент вначале уменьшается, достигая минимума для определенного значения  $\nu$ , после чего картина зависимости такая, как и в случае идеального проводника, б) как и выше, модель идеального проводника дает завышенные результаты.

ՀԵՆՐԻԿԱՅՆԱԿԱՆ ՄԱԳՆԵՏԱԿԱՆ ԴԱՇՏՈՒՄ ՎԵՐՋԱՎՈՐ ՀԱՂՈՐԴԻԶ  
ՍԱԼԻ ՍՏԻՊՈՂԱԿԱՆ ՏԱՏԱՆՈՒՄՆԵՐԸ

Պ. Չ. ՀԱԿՈՅԱՆ, Գ. Ե. ԲԱԳԴԱՍԱՐՅԱՆ

Ա մ փ ո փ ու մ

Աշխատանքում, ելնելով բարակ սալերի մագնիսատառձղականության տեսության գծային հալասարումներից, դիտարկվում են ընդերկայնական մագնիսական դաշտում վերջավոր էլեկտրահաղորդիչ բարակ սալ-շերտի ստիպողական տատանումները:

Հետադառնված է և ցույց է տրված մագնիսական դաշտի լարվածության, սալի նյութի հաղորդականության, արտաքին ուժի հաճախականության և սալի հաստության էական ազդեցությունը ստիպողական մագնիսատառձղական տատանումների բնութագրիչների վրա:

FORCED VIBRATIONS OF FINITE CONDUCTIVE PLATE IN A  
LONGITUDINAL MAGNETIC FIELD

P. Z. HAKOPIAN, G. E. BAGDASARIAN

S u m m a r y

In the work based on linear equations of magnetoelasticity of thin plates, the finite conductive thin plate-strip forced vibrations in a longitudinal magnetic field is considered. The essential influence both of a magnetic field intensity, plate material conductivity, external force frequencies and plate thickness upon characteristics of forced magnetoelastic vibrations have been investigated and shown.

Л И Т Е Р А Т У Р А

1. Амбарцумян С. А., Багдасарян Г. Е. Вынужденные колебания тонкой идеально проводящей пластинки в продольном магнитном поле.—Докл. АН АрмССР, 1985, т. 80, № 1, с. 28—32.
2. Амбарцумян С. А., Багдасарян Г. Е., Белубекян М. В. Магнитоупругость тонких оболочек и пластин. М.: Наука, 1977. 272 с.
3. Багдасарян Г. Е. О приведении трехмерной задачи магнитоупругости тонких пластин к двумерной.—Уч. записки ЕГУ, 1977, № 2, с. 32—48.
4. Багдасарян Г. Е. К теории колебаний и устойчивости проводящих пластин в продольном магнитном поле.—Докл. АН АрмССР, 1975, т. 61, № 5, с. 275—283.
5. Болотин В. В. Неэквивалентные задачи теории упругой устойчивости. М.: Физматгиз, 1961. 339 с.
6. Тимошенко С. П. Колебания в инженерном деле.—М.: Физматгиз, 1959. 439 с.

Институт механики АН Армянской ССР

Поступила в редакцию  
14.1.1986